

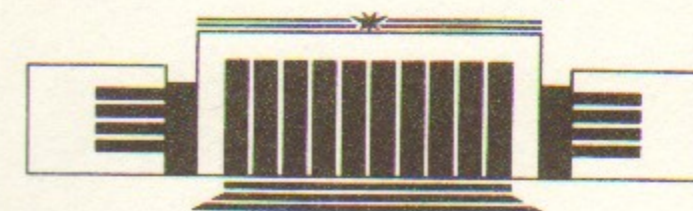


ИНСТИТУТ ЯДЕРНОЙ ФИЗИКИ СО АН СССР

**В.Н. Байер, В.М. Катков, В.М. Страховенко**

**СТРУКТУРА  
МАССОВОГО ОПЕРАТОРА ЭЛЕКТРОНА  
В ОДНОРОДНОМ МАГНИТНОМ ПОЛЕ,  
БЛИЗКОМ К КРИТИЧЕСКОМУ**

**ПРЕПРИНТ 90-55**



НОВОСИБИРСК



Структура  
массового оператора электрона  
в однородном магнитном поле,  
близком к критическому

В.Н. Байер, В.М. Катков, В.М. Страховенко

Институт ядерной физики  
630090, Новосибирск 90, СССР

АННОТАЦИЯ

Исследован массовый оператор электрона  $M$  в однородном магнитном поле  $H$ , близком к критическому полю  $H_0 = 4.41 \cdot 10^{13}$  Э. Вычислены реальная часть  $M$  (содержащая информацию об аномальном магнитном моменте электрона) и мнимая часть  $M$  (связанная с вероятностью излучения) в виде ряда по степеням  $\eta \equiv H/H_0$  при любых значениях главного квантового числа  $n$ . Получено общее выражение для интенсивности излучения, пригодное для произвольных  $\eta$  и  $n$  и его асимптотические разложения. Показано, что ряд при  $\eta \ll 1$  является асимптотическим. Проведен анализ области  $\eta \gg 1$ , в частности радиационные поправки к основному состоянию при  $\eta \gg 1$  вычислены со степенной точностью. Получены явные выражения для интенсивности и вероятности излучения в этой области для  $n \gg 1$ .

1. ВВЕДЕНИЕ

Является общепризнанным, что магнитное поле нейтронных звезд (пульсаров) достигает значений  $H \sim 4 \cdot 10^{12}$  Э (см., например, [1]), близких к критическому полю  $H_0 = m^2/e = (m^2 c^3 / e \hbar) = 4.41 \cdot 10^{13}$  Э. Недавно было установлено, что во вспыхвающих источниках гамма-лучей, которые также, по-видимому, являются нейтронными звездами, магнитное поле имеет величину  $H \sim 2 \cdot 10^{12}$  Э [2]. В этой связи представляется целесообразным получить адекватное описание радиационных эффектов в таких полях. Сюда относится излучение, а также поправки к массе и аномальному магнитному моменту. Иными словами, речь идет о нахождении поправок  $\sim \eta \equiv H/H_0$  к формулам квазиклассической квантовой электродинамики во внешнем поле [3], дающей простое и эффективное описание электромагнитных явлений, точное по параметру  $\chi = \gamma \eta$  ( $\gamma = e/m$ ) и игнорирующее члены  $\propto \eta$ .

Поскольку характерные длины формирования указанных выше процессов  $l_f \sim \lambda_c / \eta$  много меньше масштаба неоднородности магнитного поля нейтронной звезды, расчет можно проводить в приближении постоянного поля  $H$ . Точное выражение для массового оператора электрона в  $\alpha$ -порядке в постоянном магнитном поле было получено в работах [4, 5]. Оно представляет собой двукратный интеграл от удивительно компактного выражения, содержащего однако осциллирующие функции. По этой причине непосредственное использование его для вычисления радиационных эффектов оказывается крайне затруднительным.

В настоящей работе проведено разложение массового операто-



ра и вычислены поправки к квазиклассическому приближению при любых значениях параметра  $\gamma$ . Полученные результаты выражаются через однократные интегралы и позволяют легко проследить за структурой массового оператора при переходе от нерелятивистского к ультрарелятивистскому пределу. Получено точное выражение для интенсивности излучения, являющееся функцией  $\eta$  и квантового числа  $n$ . С использованием этого выражения найдены асимптотические разложения интенсивности в разных областях. Отдельно исследована область  $\eta \gg 1$  при  $n \gg 1$ , а также область  $\eta \gg 1$ , представляющая несомненный теоретический интерес. Со степенной точностью вычислена поправка к массе электрона в основном состоянии  $n=0$  в сверхсильном поле ( $\eta \gg 1$ ).

## 2. МАССОВЫЙ ОПЕРАТОР В ПОЛЯХ, МЕНЬШИХ КРИТИЧЕСКОГО

Воспользуемся полученным в работе [5], имеющим диагональный вид, выражением для массового оператора электрона в однородном магнитном поле:

$$M = \frac{\alpha m}{2\pi} \int_0^\infty \frac{dx}{x} \int_0^1 du e^{-iux/2\eta} \left\{ \frac{1}{\Delta} \exp \left[ \frac{i\rho}{\eta} \left( a(x) - \frac{ux}{2} \right) \right] \times \right. \\ \left. \times \left[ (\rho(1-u) - u)(c(x) + u(s(x) - c(x))) - us(x) + \right. \right. \\ \left. \left. + i\zeta\gamma_\perp u(1-u)x \left( \frac{c(x)}{x^2} - 1 + s(x) \right) + 1 + u \right] - 1 - u \right\}. \quad (1)$$

Здесь

$$\rho = 2n\eta = \gamma_\perp^2 - 1, \quad \eta = \frac{H}{H_0}, \quad n = n_0 + \frac{1-\zeta}{2}, \\ a(x) = \arctg \frac{uc(x)}{x(1-us(x))}, \quad \Delta = 1 - 2u(1-u)s(x) + u^2 \left( \frac{2c(x)}{x^2} - 1 \right), \\ c(x) = 1 - \cos x, \quad s(x) = 1 - \frac{\sin x}{x}, \quad \zeta = \pm 1 (n \geq 1), \quad \zeta = 1 (n = 0). \quad (2)$$

При  $\eta \ll 1$  вклад в интеграл (1) дают  $ux \ll \eta \ll 1$ . Разложение функций  $a(x)$  и  $\Delta^{-1}(x)$  по величине  $ux$  дает

$$a(x) \simeq \frac{uc(x)}{x} [1 + us(x) + u^2s^2(x)] - \frac{u^3c^3(x)}{3x^3},$$

$$\Delta^{-1}(x) \simeq 1 + 2u(1-u)s(x) + 4u^2(1-u)^2s^2(x) + u^2 \left( 1 - \frac{2c(x)}{x^2} \right). \quad (3)$$

Возможность дальнейшего разложения экспоненты в (1) связана с величиной параметра  $\rho\eta^2 \equiv \chi^2$ . При  $\rho \ll 1$  и  $\eta \ll 1$  параметр  $\chi$  всегда мал. В ультрарелятивистском пределе ( $\rho \gg 1$ ) вклад в интеграл (1) дают  $x \ll 1/\sqrt{\rho} \ll 1$ , тогда величина  $\rho(a(x) - ux/2)/\eta \sim u^3x^3\rho/\eta \ll \rho\eta^2 = \chi^2$  и разложение соответствующей экспоненты можно проводить только при  $\chi \ll 1$ . Поскольку предел  $\rho \gg 1$  хорошо изучен при любых значениях параметра  $\chi$  (см., например, [3]), мы рассмотрим случай  $\chi \ll 1$  при произвольных значениях параметра  $\rho$ . В этом случае, оставляя члены  $\sim \eta^2$  включительно, получаем

$$\exp \left[ \frac{i\rho}{\eta} a(x) \right] \simeq \exp \left( \frac{i\rho}{\eta} uc \right) \left[ 1 + \frac{i\rho u^2 c}{\eta x} \left( s + us^2 - \frac{uc^2}{3x^2} \right) - \frac{\rho^2 u^4 c^2 s^2}{2\eta^2 x^2} \right]. \quad (4)$$

Как известно, мнимая часть массового оператора связана с вероятностью излучения фотона следующим соотношением:

$$W = -\frac{2}{\gamma} \text{Im } M. \quad (5)$$

В интеграл по  $u$  для мнимой части массового оператора вклад дают  $u \ll 1$ , а область  $u \sim 1$  экспоненциально подавлена. Это позволяет распространить интеграл по  $u$  до  $\infty$ , что значительно упрощает дальнейшие вычисления. Физический смысл экспоненциального подавления вероятности излучения при  $u \sim 1$  состоит в следующем. Поскольку величина  $M$  инвариантна относительно преобразований Лоренца, перейдем в систему отсчета, где продольный вдоль магнитного поля импульс достаточно велик  $p_\parallel/m \rightarrow \infty$ . При этом остаются неизменными как величина магнитного поля  $H$ , так и значение параметра  $\rho = p_\perp^2/m^2$ . Однако, в этой системе  $\gamma \gg 1$  и переменная  $u$  однозначно связана с частотой излученного фотона  $u = \omega/\varepsilon$ . С другой стороны, хорошо известно, что в классической области при  $\chi \ll 1$  излучение частот  $\omega \sim \varepsilon$  подавлено экспоненциально. Проводя интегрирование по  $u$  с учетом сказанного выше, получаем для вероятности излучения фотона следующее выражение (см. Приложение):

$$W = \frac{2\alpha m^2}{3\varepsilon} \eta^2 \left[ \frac{1}{\eta} f_0(\rho) - 1 - 2\rho + \zeta\gamma_\perp \left( f_1(\rho) - \frac{\eta}{2} (7 + 9\rho) \right) + \eta f_2(\rho) \right], \quad (6)$$

где



$$f_0(\rho) = \frac{3}{\pi} \int_0^{\infty} \frac{dx}{x^2} \left( \frac{1+\rho c}{\mu} - 1 \right); \quad \mu = 1 + \rho \left( 1 - \frac{2c}{x^2} \right);$$

$$f_1(\rho) = \frac{6}{\pi} \int_0^{\infty} \frac{dx}{x^2} \left( \frac{1}{\mu^2} \left( \frac{c}{x^2} + s - 1 \right) + \frac{1}{2} \right); \quad (7)$$

$$f_2(\rho) = \frac{24}{\pi} \int_0^{\infty} \frac{dx}{x^2} \left\{ \frac{1}{\mu^3 x^2} \left[ s \left( 1 - \frac{3(1+\rho)}{\mu} \right) (1 + s(\rho - 1) - (1 + 2\rho)c) + \right. \right. \\ \left. \left. + \frac{1}{\mu} (1 + \rho c) (1 + \rho) \left( \frac{c^2}{x^2} + 3s^2 \left( 1 - \frac{2(1+\rho)}{\mu} \right) \right) + (1 + \rho)(s - c) \right] + \frac{7\rho + 5}{12} \right\}.$$

Графики функций  $f_0$ ,  $f_1$ ,  $f_2$  представлены на рис. 1. Вычисление  $\text{Re } M$  является более сложной задачей, поскольку вклад в реальную часть  $M$  дает вся область интегрирования переменной  $u$ . После взятия элементарных интегралов по  $u$ , в оставшемся интеграле по  $x$  в области  $\eta \ll x \ll 1$  содержатся члены  $\propto dx/x$ , приводящие к появлению в  $\text{Re } M$  фактора  $\ln(1/\eta)$ . Для явного выделения членов с логарифмом удобно разбить интервал интегрирования по  $x$  на два, а их границей выбрать значение  $x_0$ , удовлетворяющее условию  $1 \gg x_0 \gg \eta$ . В результате получаем (см. Приложение)

$$\text{Re } M = \frac{\alpha m}{2\pi} \left\{ -\frac{1}{2} \zeta \gamma_{\perp} \eta + \eta^2 \left[ \varphi_1(\rho) + \frac{4}{3} (1 + 2\rho) \ln \frac{1}{2\eta} \right] - \right. \\ \left. - \zeta \gamma_{\perp} \eta^3 \left[ \varphi_2(\rho) - \left( \frac{14}{3} + 6\rho \right) \ln \frac{1}{2\eta} \right] \right\}, \quad (8)$$

где

$$\varphi_1(\rho) = 4 \int_0^{\infty} \frac{dx}{x^3} \left\{ 1 - 2(1 + 2\rho)s + \frac{1}{\mu^2} [(1 - \rho)s + (1 + 2\rho)c - 1] - \right. \\ \left. - \frac{2s(1 + \rho)(1 + \rho c)}{\mu^3} \right\} - \frac{1}{18} + \frac{20}{9} \rho,$$

$$\varphi_2(\rho) = 4 \int_0^{\infty} \frac{dx}{x^3} \left\{ \frac{4}{\mu^3} \left( \frac{c}{x^2} + s - 1 \right) \left[ \left( \frac{3(1 + \rho)}{\mu} - 1 \right) s - 1 \right] - \right. \\ \left. - 2 + (7 + 9\rho)s \right\} + \frac{1}{9} + 3\rho.$$

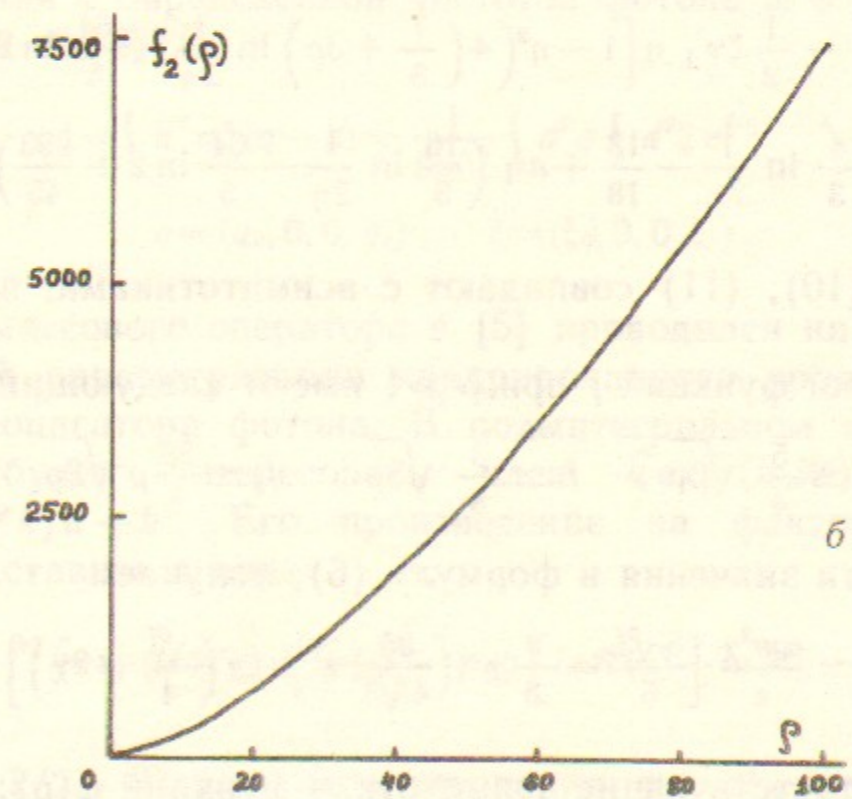
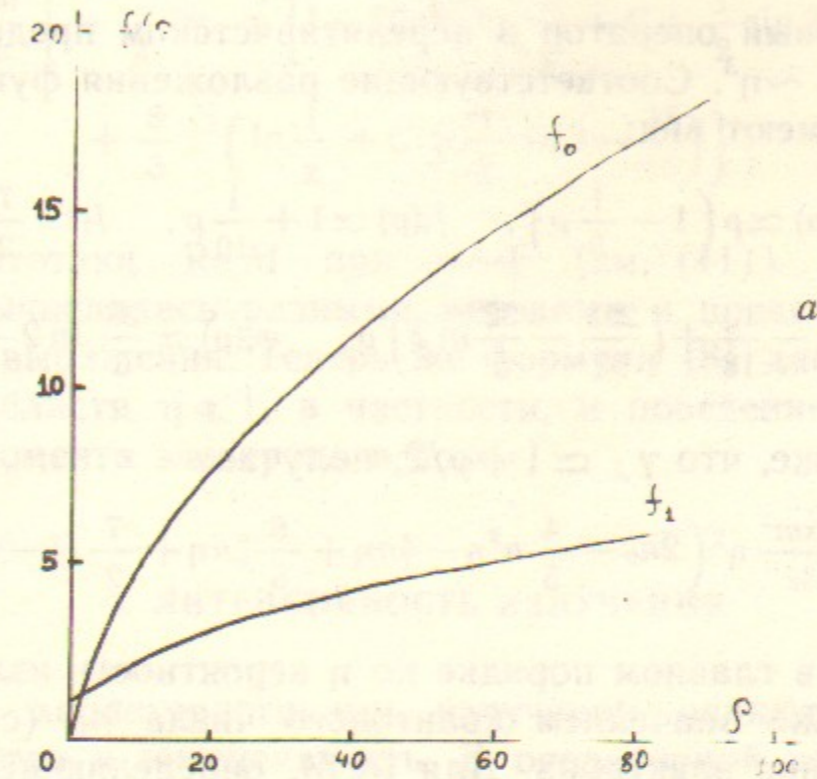


Рис. 1.



Найдем массовый оператор в нерелятивистском пределе  $\rho \ll 1$ , сохраняя члены  $\sim \eta^3$ . Соответствующие разложения функций  $f$  и  $\varphi$  в этом случае имеют вид:

$$f_0(\rho) \simeq \rho \left(1 - \frac{1}{5}\rho\right), \quad f_1(\rho) \simeq 1 + \frac{1}{10}\rho, \quad f_2 \simeq \frac{7}{2};$$

$$\varphi_1(\rho) \simeq -\frac{13}{18} + \left(\frac{293}{90} - \frac{32}{5} \ln 2\right)\rho, \quad \varphi_2(\rho) \simeq \frac{32}{5} \ln 2 - \frac{83}{90}. \quad (9)$$

Учитывая также, что  $\gamma_{\perp} \simeq 1 + \rho/2$ , получаем

$$W = \frac{2\alpha m^2}{3\varepsilon} \eta^2 \left(2n_0 - \frac{4}{5}n^2\eta - 4n\eta + \frac{6}{5}\zeta n\eta + \frac{7}{2}(1 - \zeta)\eta\right). \quad (10)$$

Отметим, что в главном порядке по  $\eta$  вероятность излучения определяется только значением квантового числа  $n_0$  (см. (1)) и не зависит от спина электрона. Для  $\text{Re } M$ , определяющей поправки к массе и аномальный магнитный момент электрона, соответственно имеем

$$\text{Re } M = \frac{\alpha m}{2\pi} \left\{ -\frac{1}{2}\zeta\gamma_{\perp}\eta \left[1 - \eta^2 \left(4\left(\frac{7}{3} + 3\rho\right) \ln \frac{1}{2\eta} - \frac{64}{5} \ln 2 + \frac{83}{45}\right)\right] + \eta^2 \left[\frac{4}{3} \ln \frac{1}{2\eta} - \frac{13}{18} + n\eta \left(\frac{16}{3} \ln \frac{1}{2\eta} - \frac{64}{5} \ln 2 + \frac{293}{45}\right)\right] \right\}. \quad (11)$$

Разложения (10), (11) совпадают с асимптотиками, полученными в работе [4].

Асимптотики функций  $f$  при  $\rho \gg 1$  имеют следующий вид:

$$f_0 \simeq \frac{5}{4} \sqrt{3\rho}, \quad f_1 \simeq \frac{3}{8} \sqrt{3\rho}, \quad f_2 \simeq \frac{35}{8} \rho \sqrt{3\rho}. \quad (12)$$

Подставляя эти значения в формулу (6), получаем

$$W \simeq \frac{\alpha m^2 \chi}{\varepsilon} \left[ \frac{5\sqrt{3}}{6} - \frac{4}{3}\chi + \frac{35}{4\sqrt{3}}\chi^2 + \zeta\chi \left(\frac{\sqrt{3}}{4} - 3\chi\right) \right]. \quad (13)$$

Приведем соответствующие асимптотики функций  $\varphi(\rho)$ :

$$\varphi_1 \simeq \frac{8}{3}\rho \left( \ln \sqrt{\frac{12}{\rho}} + C - \frac{33}{16} \right), \quad \varphi_2 \simeq -6\rho \left( \ln \sqrt{\frac{12}{\rho}} + C - \frac{37}{12} \right), \quad (14)$$

$$C = 0.577215\dots$$

Тогда имеем для  $\text{Re } M$  при  $\rho \gg 1$  следующее выражение:

$$\text{Re } M \simeq \frac{\alpha m}{2\pi} \left\{ -\frac{1}{2}\zeta\gamma_{\perp}\eta \left[1 - 12\chi^2 \left(\ln \frac{1}{\chi} + C + \frac{1}{2} \ln 3 - \frac{37}{12}\right)\right] + \frac{8}{3}\chi^2 \left(\ln \frac{1}{\chi} + C + \frac{1}{2} \ln 3 - \frac{33}{16}\right) \right\}. \quad (15)$$

Ранее асимптотики  $\text{Re } M$  при  $n \sim 1$  (см. (11)) и при  $\rho \gg 1$  (см. (15)) вычислялись разными методами и представляли собой независимые выражения. Теперь же формула (8) дает единое описание всей области  $\eta \ll 1$ , в частности, и поведение аномального магнитного момента электрона в поле.

### 3. ИНТЕНСИВНОСТЬ ИЗЛУЧЕНИЯ

Важными характеристиками излучения являются его спектральный состав и интенсивность. В операторной технике дифференциальные вероятности процессов обычно получают при помощи операторов проектирования на соответствующие состояния. Выделим состояния с определенной частотой фотона  $\omega$  и проекцией его импульса на ось  $\vec{e}_z \parallel \vec{H}$ :

$$1 = \int d^2 q \delta(q - k) = \frac{1}{(2\pi)^2} \int d^2 q \int d^2 \xi e^{i(q-k)\xi}, \quad (16)$$

$$q = (q_0, 0, 0, q_z), \quad \xi = (\xi_0, 0, 0, \xi_z).$$

Расчет массового оператора в [5] проводился на основе экспоненциальной параметризации квадрированного пропагатора электрона и пропагатора фотона. В подынтегральном выражении по  $d^4 k$  нас будет интересовать член  $\hat{k} \exp(is\mathcal{H})$ , где  $\mathcal{H} = (\mathcal{P}^2 - 2\mathcal{P}k)u + k^2$ . Его произведение на фактор  $\exp(-ik\xi)$  можно представить в виде

$$e^{-ik\xi} \hat{k} \exp(is\mathcal{H}) = \left(\hat{\kappa} + \frac{\hat{\xi}}{2s}\right) \exp\left(is\mathcal{H}(\kappa) - iu\mathcal{P}\xi - \frac{i\xi^2}{4s}\right), \quad (17)$$

где  $\kappa = k - \xi/2s$ . После интегрирования по  $d^4 \kappa$  дополнительный член в матричной структуре имеет вид  $\hat{\xi}(c_1 + c_2 \sigma F)$ , причем в магнитном поле матрицы  $\hat{\xi}$  и  $\sigma F$  коммутируют между собой. Среднее значение добавочного члена в массовом операторе на массовой оболочке можно вычислить, используя следующие антикоммуторы:



$$\langle \hat{\xi}, \hat{\mathcal{P}} \rangle = 2\xi \mathcal{P},$$

$$\langle \hat{\xi} \sigma F, R \rangle = \frac{1}{4} \langle \hat{\xi} \sigma F, \{ \sigma F, \hat{\mathcal{P}} \} \rangle = \frac{1}{2} \xi \mathcal{P} (\sigma F)^2 = 2\xi \mathcal{P} H^2,$$

$$R = \gamma^5 \mathcal{P} F^* \gamma, \quad R^2 = \mathcal{P} F^{*2} \mathcal{P} = H^2 \varepsilon_{\perp}^2. \quad (18)$$

Учитывая, что собственным значением оператора  $R$  является величина  $\zeta \sqrt{R^2}$ , получаем

$$\langle \hat{\xi} \rangle = \frac{1}{m} \xi \mathcal{P}, \quad \langle \hat{\xi} \sigma F \rangle = \frac{2}{\varepsilon_{\perp}} \zeta H \xi \mathcal{P}. \quad (19)$$

Интеграл по  $\xi$  от выражения (17) с учетом (19) является гауссовым:

$$\begin{aligned} & \frac{1}{(2\pi)^2} \int d^2\xi (1, \xi \mathcal{P}) \exp\left(iq\xi - iu\xi \mathcal{P} - \frac{i\xi^2}{4s}\right) = \\ & = \frac{s}{\pi} \left(1, i \frac{d}{du}\right) \exp(i(q-up)^2 s), \quad p = (\varepsilon, 0, 0, p_z). \end{aligned} \quad (20)$$

В результате получаем для массового оператора следующее ковариантное выражение:

$$\begin{aligned} dM &= \frac{\alpha d^2 q}{2\pi^2 m} \int_0^1 \frac{dx}{2\eta} \int_0^1 \frac{du}{u\Delta} \exp\left\{-\frac{iux}{2\eta} + \frac{ix(q-up)^2}{2\eta um^2}\right\} \times \\ & \times \left\{ \exp\left(\frac{i\rho}{\eta} \left(a(x) - \frac{ux}{2}\right)\right) \left[\left(\rho - \frac{pq}{m^2}\right) (c + u(s-c)) + \right. \right. \\ & + i\zeta \gamma_{\perp} u \left(1 - \frac{pq}{\varepsilon_{\perp}^2}\right) \left(\frac{c}{x} - \sin x\right) + i\zeta \left(u\gamma_{\perp} - \frac{pq}{m\varepsilon_{\perp}}\right) (1-s) - \\ & \left. \left. - us + 1 - u\rho + \frac{pq}{m^2}\right] - 1 + u\rho - \frac{pq}{m^2} \right\}. \end{aligned} \quad (21)$$

Наиболее простой вид спектрального распределения вероятности излучения при произвольных значениях параметра  $\rho$  получается в системе бесконечного импульса  $p_z \rightarrow \infty$ . (Отметим, что при  $p_z/m \gg 1$  классическое движение частицы в магнитном поле такое же, как в спиральном ондуляторе.) В этом приближении  $\gamma = \varepsilon/m \gg 1$  и вклад в интеграл по  $d^2q$  дают  $q_0 - q_z \sim q_0/\gamma$ . С релятивистской точностью получаем

$$q_0 - q_z \simeq \frac{q^2}{2q_0}, \quad qp = q_0 \varepsilon - q_z p_z \simeq \frac{q^2 \varepsilon}{2q_0} + \frac{q_0 p^2}{2\varepsilon},$$

$$\frac{(q-up)^2}{u} \simeq \left(\frac{1}{u} - \frac{\varepsilon}{q_0}\right) q^2 + \left(u - \frac{q_0}{\varepsilon}\right) p^2.$$

Умножим выражение для  $dM$  на фактор  $i/\gamma$  и распространим интеграл по  $x$  от  $-\infty$  до  $\infty$ . В теории излучения при интегрировании по углам вылета фотона или, как в (21), по  $d^2q$  возникают интегралы вида

$$\begin{aligned} \int_{-\infty}^{\infty} \int_0^a F(x) f(xy) dx dy &= \lim_{a \rightarrow \infty} \int_{-\infty}^{\infty} F(x) dx \int_0^a f(xy) dy = \\ &= \int_{-\infty}^{\infty} \frac{dx}{x} (F(x) - F(0)) \int_0^{\infty} f(y) dy. \end{aligned}$$

В выражении для вероятности излучения вычитание, содержащееся в массовом операторе (1) и дополнительно возникающее при интегрировании по  $d^2q$ , можно обеспечить, сместив контур интегрирования чуть ниже вещественной оси. Переходя теперь в (21) к переменным  $q_0 - q_z \simeq q^2/2q_0$ ,  $q_0 \equiv \omega$ , и проводя интегрирование по  $d^2q$  и переменной  $u$ , получаем для спектрального распределения вероятности следующее выражение:

$$\begin{aligned} dW &= \frac{i\alpha m^2 d\omega}{2\pi \varepsilon^2} \int_{-\infty}^{\infty} \frac{dx}{x-i0} \left[ \left(\rho - (1+\rho)u + \frac{i\eta}{x} \frac{d}{du} u\right) \times \right. \\ & \times (c + u(s-c)) + i\zeta \gamma_{\perp} \left(1 - u + \frac{i\eta}{(1+\rho)x} \frac{d}{du} u\right) u \left(\frac{c}{x} - \sin x\right) + \\ & \left. + \left(u - \frac{\zeta\eta}{\gamma_{\perp}} \frac{d}{du} u\right) (1-s) + 1 - \frac{i\eta}{x} \frac{d}{du} u \right] \times \\ & \times \frac{1}{\Delta} \exp\left\{-\frac{iux}{2\eta} + \frac{i\rho}{\eta} \left(a(x) - \frac{ux}{2}\right)\right\}, \quad u = \frac{\omega}{\varepsilon}. \end{aligned} \quad (22)$$

Умножив  $dW$  на  $\omega$ , получим спектральное распределение интенсивности излучения в ондуляторном пределе. Проводя интегрирование по  $\omega(u)$ , получим следующее выражение для полной интенсивности излучения:



$$I = \frac{i\alpha m^2}{2\pi} \int_{-\infty}^{\infty} \frac{dx}{x-i0} \int_0^1 \frac{udu}{\Delta} \exp \left\{ -\frac{iux}{2\eta} + \frac{i\rho}{\eta} \left( a(x) - \frac{ux}{2} \right) \right\} \times$$

$$\times \left[ \left( \rho - (1+\rho)u - \frac{i\eta}{x} \right) (c + u(s-c)) + i\zeta\gamma_{\perp} u \left( 1 - u - \frac{i\eta}{(1+\rho)x} \right) \left( \frac{c}{x} - \sin x \right) + \left( \frac{\zeta\eta}{\gamma_{\perp}} + u \right) (1-s) + 1 + \frac{i\eta}{x} \right]. \quad (23)$$

Отметим, что выражение (23) имеет инвариантный вид и не зависит от системы отсчета, в которой проводились вычисления.

Проведем разложение интенсивности излучения по степеням  $\eta$  при  $\eta \ll 1$ ,  $\chi^2 = \rho\eta^2 \ll 1$ , как это было сделано выше для вероятности процесса. В результате имеем (см. Приложение)

$$I = \alpha m^2 \eta^2 \left\{ \frac{2}{3} \rho + \eta \left[ f_4(\rho) + \zeta \sqrt{1+\rho} \left( \rho + \frac{2}{3} \right) \right] + \right.$$

$$\left. + \eta^2 \left[ 8(4\rho+1) \left( \rho + \frac{2}{3} \right) + \zeta \sqrt{1+\rho} f_5(\rho) \right] \right\}, \quad (24)$$

где

$$f_4(\rho) = \frac{16}{\pi} \int_0^{\infty} \frac{dx}{x^4} \left\{ \frac{1}{\mu^3} \left[ (1+2\rho)c + s \left( 1 + (1+\rho)c \right) \times \right. \right.$$

$$\left. \times \left( 1 - \frac{3}{\mu} (1+\rho) \right) \right] - \frac{1}{4} c\mu \right] - \frac{x^2}{24} (12\rho+5) \left. \right\},$$

$$f_5(\rho) = \frac{16}{\pi} \int_0^{\infty} \frac{dx}{x^4} \left\{ \frac{6}{\mu^4} \left( \frac{c}{x^2} + s - 1 \right) \left[ 1 + 2s \left( 1 - \frac{2}{\mu} (1+\rho) \right) \right] + \right.$$

$$\left. + 3 - \frac{x^2}{4} (12\rho+7) + \frac{1}{1+\rho} \left[ \frac{1}{\mu^3} \left( 1 - s - \frac{c}{x^2} + s(1-s) \left( 1 - \frac{3}{\mu} (1+\rho) \right) \right) - \frac{1}{2} + \frac{x^2}{24} (15\rho+11) \right] \right\}. \quad (25)$$

Графики функций  $f_4$ ,  $f_5$  представлены на рис. 2. В пределе нерелятивистского поперечного движения ( $\rho \ll 1$ ) имеем

$$f_4(\rho) \simeq -\frac{2}{3} - \frac{11}{3}\rho, \quad f_5(0) \simeq -\frac{16}{3}. \quad (26)$$

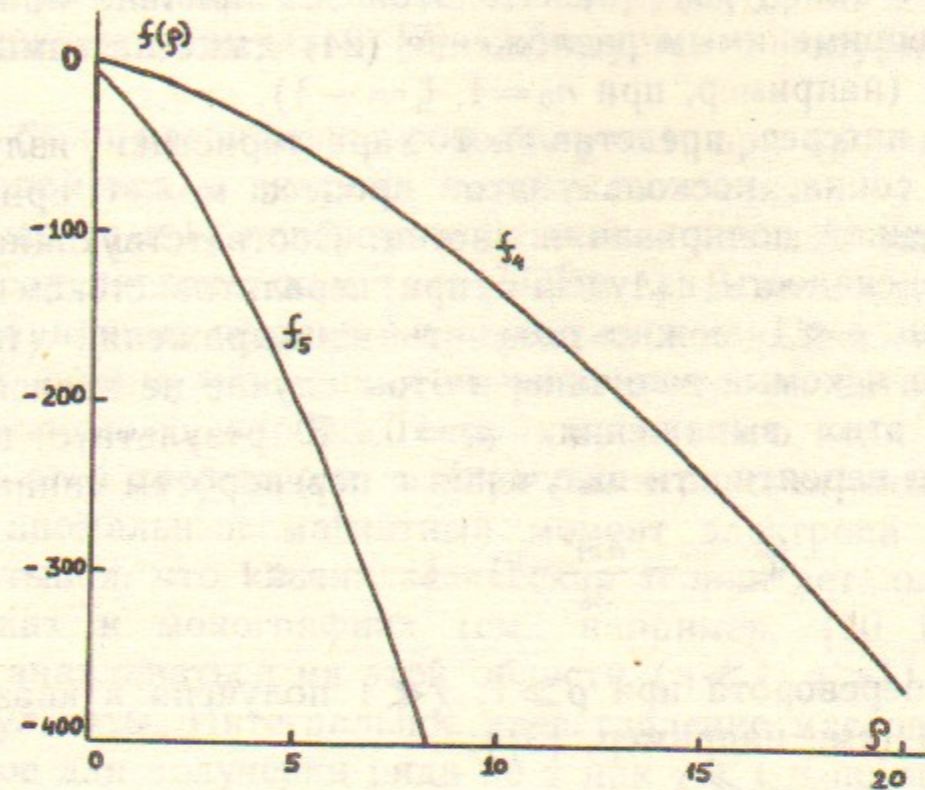


Рис. 2.

В этом случае получаем для интенсивности излучения с учетом поправок  $\sim \eta$  следующее выражение:

$$I \simeq \frac{2}{3} \alpha m^2 \eta^3 [2n - 1 + \zeta + \eta((4\zeta - 11)n + 8(1 - \zeta))] =$$

$$= \frac{2}{3} \alpha m^2 \eta^3 \left[ (2 + \eta(4\zeta - 11)) n_0 + \frac{1 - \zeta}{2} \eta \right]. \quad (27)$$

В случае ультрарелятивистского поперечного движения ( $\rho \gg 1$ ), когда параметр  $\chi = \eta\sqrt{\rho}$  все еще мал ( $\chi \ll 1$ ), получаем

$$f_4(\rho) \simeq -\frac{55}{8\sqrt{3}} \rho^{3/2}, \quad f_5(\rho) \simeq -\frac{35\sqrt{3}}{4} \rho^{3/2},$$

$$I \simeq \alpha m^2 \chi^2 \left[ \frac{2}{3} - \frac{55}{8\sqrt{3}} \chi + 32\chi^2 + \zeta \chi \left( 1 - \frac{35\sqrt{3}}{4} \chi \right) \right]. \quad (28)$$

Отметим, что разложения (24), (27), (28) являются асимптотическими, что приводит в них к большой величине численных коэффициентов и соответственно уменьшает пределы применимости. Так, например, в случае  $\rho \gg 1$  уже при  $\chi = 0,1$  интенсивность излучения



неполяризованных частиц примерно в полтора раза меньше классической ( $I_{cl} = 2\alpha m^2 \chi^2 / 3$ ) [6]. По этой же причине при  $\eta \sim 1/10$  становится неприменимым разложение (24) даже на самых низких уровнях (27) (например, при  $n_0 = 1, \zeta = -1$ ).

Большой интерес представляют характеристики излучения с переворотом спина, поскольку этот процесс может приводить к преимущественной поляризации частиц. Соответствующие вероятность и интенсивность излучения при нерелятивистском поперечном движении  $\rho \ll 1$  можно получить из выражений (10), (27), учитывая, что искомые величины в этом случае не зависят от  $\rho$  и положить в этих выражениях  $n_0 = 0$ . В результате получаем, например, для вероятности излучения с переворотом спина

$$W_{\zeta, -\zeta} = \frac{\alpha m^2}{3\epsilon} \eta^3 (1 - \zeta), \quad \rho \ll 1. \quad (29)$$

Вероятность переворота при  $\rho \gg 1, \chi \ll 1$  получена в квазиклассической теории (см., например, [3]):

$$W_{\zeta, -\zeta} = \frac{\alpha m^2}{2\epsilon} \chi^3 \left( \frac{5\sqrt{3}}{8} - \zeta \right). \quad (30)$$

Недавно задача излучения электрона в произвольном внешнем электромагнитном поле решалась с учетом первой квантовой поправки [7]. В задаче излучения квантовые поправки выглядят как разложение по степеням параметров  $\chi, \eta$  (если электрическое поле  $E = 0$ ). В этом смысле в [7] сформулирован способ нахождения первого члена разложения по  $\chi$  или  $\eta$ . Используемые нами квазиклассические выражения являются точными\* по  $\chi$  (но при  $\eta = 0$ ), а формула (1) является точной как по  $\chi$ , так и по  $\eta$ , т. е. содержит все квантовые эффекты точно. Следует иметь в виду, что в работе авторов [5] массовый оператор (а, значит, и вероятность излучения) найден в постоянном внешнем поле произвольной конфигурации (с полями  $\vec{H}$  и  $\vec{E}$ ), так что из [5] непосредственно следует обобщение (1) на этот случай. Что касается переходов с переворотом спина, то следует учесть, что спин-флиповая амплитуда пропорциональна  $\hbar$  ( $\propto \hbar\omega/\epsilon$ ) и, следовательно, с самого начала выражение для вероятности содержит нужную степень  $\hbar$ . По-

\* Квазиклассическое приближение применимо, естественно, и в нерелятивистской области в случае больших квантовых чисел. Такая ситуация встретилась в задаче об излучении в ондуляторе [8], где поперечное движение было нерелятивистским.

этому для вычисления главного члена в этом случае достаточно проводить вычисления на классической траектории. В силу сказанного последняя формула в [7] согласуется с полученной ранее в [9].

Выше была рассмотрена область  $\chi \ll 1$ , при произвольных значениях параметра  $\rho$ , включая низшие состояния  $n \sim 1$ . При  $\chi \gg 1$  в слабом поле ( $\eta \ll 1$ ) поперечное движение частицы заведомо является ультрарелятивистским ( $\rho = \chi^2/\eta^2 \gg 1$ ). В этом случае при расчете радиационных эффектов применима квазиклассическая теория излучения, сформулированная впервые двумя из авторов для случая неоднородного, вообще говоря, магнитного поля (см. в [3]). В рамках этой теории (см. в [3]) были рассмотрены поправки к массе и аномальный магнитный момент электрона во внешнем поле. Учитывая, что квазиклассическая теория детально изложена в учебниках и монографиях (см., например, [10, 11]), мы не будем останавливаться на этой области ( $\eta \ll 1, \chi \gg 1$ ), а приведем лишь результаты. Интегральное представление массового оператора, удобное для получения ряда по  $\chi$  при  $\chi \ll 1$  и по обратным степеням  $\chi$  при  $\chi \gg 1$  в квазиклассической теории имеет вид

$$M = \frac{\alpha m}{48\sqrt{3}} \frac{1}{2\pi i} \int_{-0-i\infty}^{-0+i\infty} ds (3\chi)^{s+1} \frac{e^{-i\pi s/2}}{\sin \pi s} \times \\ \times \left[ \frac{i}{\cos(\pi s/2)} (3s^2 + 3s + 10) \Gamma\left(\frac{s}{2} + \frac{1}{6}\right) \Gamma\left(\frac{s}{2} + \frac{5}{6}\right) + \right. \\ \left. + \frac{3\zeta s(s+1)}{\sin(\pi s/2)} \Gamma\left(\frac{s}{2} + \frac{1}{3}\right) \Gamma\left(\frac{s}{2} + \frac{2}{3}\right) \right]. \quad (31)$$

Для интенсивности излучения соответственно имеем

$$I = \frac{\alpha m^2}{24\sqrt{3}} \frac{1}{2\pi i} \int_{-0-i\infty}^{-0+i\infty} ds (3\chi)^{s+2} \frac{(s+1)}{\sin \pi s} \times \\ \times \left[ \zeta s(s+2) \Gamma\left(\frac{s}{2} + \frac{5}{6}\right) \Gamma\left(\frac{s}{2} + \frac{7}{6}\right) - \right. \\ \left. - (s^2 + 2s + 8) \Gamma\left(\frac{s}{2} + \frac{2}{3}\right) \Gamma\left(\frac{s}{2} + \frac{4}{3}\right) \right]. \quad (32)$$

При  $\chi \ll 1$ , замыкая в выражениях (31), (32) контур интегрирования направо, получаем асимптотические ряды по степеням  $\chi$ . При



$\chi \gg 1$  контур интегрирования следует замкнуть налево, полюсные особенности подынтегральных выражений лежат при  $s < 0$  и получаются ряды по обратным степеням  $\chi$ .

Поскольку главные по  $\rho \gg 1$  члены разложения массового оператора и интенсивности излучения есть функции только одного инвариантного параметра  $\chi$ , выражения (13), (15), (28) совпадают с соответствующими членами ряда при  $\chi \ll 1$  выражений (31), (32). Анализ радиационных эффектов в приближении постоянного поля при  $\chi \gg 1$ , кроме монографий [10, 11], можно найти также в работах [6, 12]. Например, в работе [12] показано, что в области  $1 \leq \chi \leq 15$  интенсивность излучения с точностью лучше 10% описывается простой формулой  $I \simeq 2\alpha m^2 \chi / 15$ . Для таких  $\chi$   $\bar{\omega} \simeq \simeq \epsilon \chi / (2 + 5\chi)$  и становится возможным образование  $e^+e^-$ -пар излученным фотоном в магнитном поле. Впрочем, рассмотрение каскадных процессов выходит за рамки настоящей работы.

#### 4. РАДИАЦИОННЫЕ ЭФФЕКТЫ В СИЛЬНЫХ ПОЛЯХ ( $H \geq H_0$ )

Выше были рассмотрены радиационные эффекты в слабом поле ( $\eta \ll 1$ ) при произвольных значениях квантового числа  $n$  (параметра  $\rho$ ) от  $n=0$  до  $n \gg \eta^{-3}$ . Обратимся к случаю, когда магнитное поле порядка ( $\eta \sim 1$ ) или значительно больше критического ( $\eta \gg 1$ ). При  $\eta \sim 1$  вычисления радиационных эффектов для частиц, находящихся на низших уровнях Ландау, необходимо проводить численно. Примером таких вычислений является расчет аномального магнитного момента электрона, проведенный в работе [13]. Простые аналитические выражения удается получить при  $n=0$ ,  $\eta \gg 1$  или для больших значений  $n \gg 1$ , но без ограничения на параметр  $\eta$ . Поправки к массе электрона в основном состоянии рассматривались в работах [14–16]. Наиболее продвинутый количественный результат получен в работе [16], где поправка к массе электрона вычислена с логарифмической точностью. В этой работе использовалось выражение для массового оператора в основном состоянии, полученное в [14], которое согласуется с формулой (1) при  $n=0$ . Ниже мы проведем вычисления для этого случая со степенной точностью.

Воспользовавшись соотношением

$$\Delta = \delta \delta^*, \quad \delta = 1 - u + \frac{i u}{x} (e^{-ix} - 1), \quad (33)$$

выражение для  $M$ , определяемое формулой (1), при  $n=0$  ( $\zeta=1$ ) можно представить в виде

$$M = \frac{\alpha m}{2\pi} \int_0^\infty \frac{dx}{x} \int_0^1 du e^{-i u x / 2\eta} \left( \frac{1 + u e^{-ix}}{\delta} - 1 - u \right). \quad (34)$$

Учитывая, что функция  $\delta(x)$  не имеет нулей в четвертой четверти комплексной переменной  $x$ , развернем контур интегрирования на нижнюю полуось. В результате получаем

$$M = \frac{\alpha m}{2\pi} \int_0^\infty dz \int_0^1 du e^{-uz/2\eta} \left[ \frac{1 + u e^{-z}}{(1-u)z + u(1-e^{-z})} - \frac{1+u}{z} \right]. \quad (35)$$

В случае  $\eta \gg 1$  область интегрирования по  $z$  удобно разбить на две:  $z \leq z_0$  и  $z \geq z_0$ , где  $\eta \gg z_0 \gg 1$ . В первой области можно заменить общий экспоненциальный фактор на единицу, а во второй пренебречь членами, пропорциональными  $e^{-z}$ . Кроме того, в области  $z \geq z_0$  разобьем интервал интегрирования по  $u$  на два с границей  $u_0$ , удовлетворяющей условиям  $1 - u_0 \ll 1$ ,  $(1 - u_0)z_0 \gg 1$  и проведем соответствующие разложения. Выделив в явном виде логарифмические члены и проводя «сшивку» интегралов в указанных областях, получаем со степенной точностью следующее выражение для поправки к массе электрона в основном состоянии:

$$M = \frac{\alpha m}{4\pi} \left[ \left( \ln 2\eta - C - \frac{3}{2} \right)^2 + A + O\left(\frac{1}{\eta}\right) \right], \quad (36)$$

где

$$A = \frac{5\pi^2}{6} - \frac{19}{4} + 2 \left[ \int_0^1 dz \left( g(z) - \frac{3}{2z} \right) + \int_1^\infty dz \left( g(z) - \frac{\ln z}{z-1} \right) \right] = 4,02816...;$$

$$g(z) = \frac{e^{-z}}{\xi(z)} + \left( \frac{1}{\xi(z)} - \frac{ze^{-z}}{\xi^2(z)} \right) \ln \left( 1 + \frac{\xi(z)}{z} \right), \quad (37)$$

$$\xi(z) = 1 - z - e^{-z}.$$

Рассмотрим массовый оператор электрона в сильном поле ( $\eta \gg 1$ ) на высоких возбужденных уровнях  $n = \rho / 2\eta \gg 1$ . В этом случае основной вклад в интеграл (1) определяется областью, ограничивающей величину члена  $\propto n$  в показателе экспоненты, который представим в виде



$$2n \left( \operatorname{arctg} \frac{u(1-\cos x)}{u \sin x + (1-u)x} - \frac{ux}{2} \right) =$$

$$= -2n \left( \operatorname{arctg} \frac{zt}{1-z(1-t \operatorname{ctg} t)} - zt \right) \equiv -2n\varphi(t), \quad (38)$$

$$z=1-u, \quad t=x/2.$$

Из выражения (38) видно, что при  $n \gg 1$  основной вклад в интеграл (1) дает область  $zt \ll 1$ , или  $u \ll 1$ . В случае  $zt \ll 1$  разложение функций  $\varphi(t)$  и  $\Delta^{-1}$  в ряд по этому параметру имеет вид

$$\varphi(t) = z^2 t \left[ (1-z^2 t^2) b(t) + z b^2(t) - \frac{z t^2}{3} + \frac{z^3 t^4}{5} + \dots \right],$$

$$b(t) = 1 - t \operatorname{ctg} t, \quad \Delta^{-1} = \frac{t^2}{\sin^2 t} (1 + 2zb - z^2 t^2 + \dots). \quad (39)$$

Из этого разложения видно, что при  $z \sim 1$  вклад дают  $t \sim n^{-1/3} \ll 1$ , а при  $t \sim 1$   $z \sim n^{-1/2} \ll 1$ . В подынтегральном выражении в (1) главным является член  $\propto z\rho$ , который (при  $t \ll 1$ )  $\sim \rho t^2 \sim \eta n^{1/3} \sim \chi^{2/3}$ , а при  $z \ll 1$  с учетом фазового объема  $\sim \rho z^2 \sim \eta$ . Вклад  $\sim 1/n$  в массовый оператор (но не интенсивность излучения) дает также область  $u \sim 1/n \ll 1$ . Отсюда видно, что главный член разложения по  $n^{-1/3}$  в массовом операторе должен совпадать с соответствующей квазиклассической асимптотикой при  $\chi \gg 1$  (31), а отличие может сказаться только в следующих членах разложения. Учитывая проведенный выше анализ и воспользовавшись формулами (38), (39), получаем для первых трех членов разложения массового оператора следующие выражения (см. Приложение<sup>\*)</sup>:

$$W = -\frac{2}{\gamma} \operatorname{Im} M = \frac{\alpha m^2}{\varepsilon} \left\{ \frac{14}{27} \Gamma\left(\frac{2}{3}\right) (3\chi)^{2/3} - \frac{5}{6} - k_0 \eta + \right.$$

$$+ \frac{10}{9} \Gamma\left(\frac{1}{3}\right) (3\chi)^{-2/3} \left( 1 + \frac{7\eta^2}{25} \right) + \zeta' \left[ \frac{1}{27} \Gamma\left(\frac{1}{3}\right) (3\chi)^{1/3} - \right.$$

$$\left. \left. - \frac{2}{9} \Gamma\left(\frac{2}{3}\right) (3\chi)^{-1/3} + \frac{1}{4\chi} \left( 1 + \frac{22}{15} \eta^2 \right) \right] \right\}; \quad (40)$$

<sup>\*)</sup> Попытки анализа области  $\eta \geq 1$  для вероятности излучения предпринимались в работах [17, 18].

$$k_0 = \frac{2}{\pi} \int_0^\infty dt \left( \frac{3}{t^2} - \frac{\sin^2 t}{t^2 - \sin^2 t} \right) = 1,5213\dots;$$

$$\Delta m = \operatorname{Re} M = \alpha m \left\{ \frac{7\sqrt{3}}{81} \Gamma\left(\frac{2}{3}\right) (3\chi)^{2/3} - \frac{1}{\pi} \left( 1 + \frac{5}{6} l(\chi) - \right. \right.$$

$$\left. - \frac{1}{4} \eta k_1(\eta) \right) - \frac{5}{9\sqrt{3}} \Gamma\left(\frac{1}{3}\right) (3\chi)^{-2/3} \left( 1 + \frac{7}{25} \eta^2 \right) -$$

$$- \zeta' \left[ \frac{1}{54\sqrt{3}} \Gamma\left(\frac{1}{3}\right) (3\chi)^{1/3} + \frac{1}{9\sqrt{3}} \Gamma\left(\frac{2}{3}\right) (3\chi)^{-1/3} - \right.$$

$$\left. \left. - \frac{1}{4\pi\chi} \left( \left( 1 + \frac{22}{15} \eta^2 \right) l(\chi) + \frac{3}{4} + \eta^2 \left( k_2(\eta) - \frac{1}{5} \right) \right) \right] \right\}, \quad (41)$$

где

$$\chi^2 = 2n\eta^3, \quad \zeta' = \zeta \sqrt{1+1/\rho}, \quad l(\chi) = \ln \frac{\chi}{\sqrt{3}} - C,$$

$$k_1(\eta) = \int_0^\infty dt e^{-t/\eta} \left( \frac{1}{t \operatorname{cth} t - 1} - \frac{\operatorname{cth} t}{t} - \frac{2}{t^2} \right),$$

$$k_1(\eta \gg 1) \simeq -0,56902\dots + \ln \eta/\eta,$$

$$k_2(\eta) = \int_0^\infty \frac{dt}{t} e^{-t/\eta} \left( \frac{1}{t \operatorname{cth} t - 1} - \frac{3}{t^2} - \frac{1}{5} \right),$$

$$k_2(\eta \gg 1) \simeq -\frac{1}{5} \ln \eta + 0,5519. \quad (42)$$

Графики функций  $k_1, k_2$  приведены на рис. 3. При  $\eta \ll 1$  формулы (40), (41) совпадают с соответствующим разложением интеграла (31) по обратным степеням  $\chi$ .

В пределе сверхсильного поля ( $\eta \gg 1$ ) получаем из формул (40) — (42) следующие выражения для вероятности излучения и поправки к массе электрона<sup>\*)</sup>:

$$W = \frac{\alpha m^2}{\varepsilon} \left[ \eta (a_1 n^{1/3} - k_0 + a_2 n^{-1/3}) + \zeta \sqrt{\eta} (a_3 n^{1/6} + a_4 n^{-1/2}) \right], \quad (43)$$

<sup>\*)</sup> Поправка к массе электрона в сверхсильном электрическом поле ( $E \gg E_0$ ) обсуждалась в работе [19].



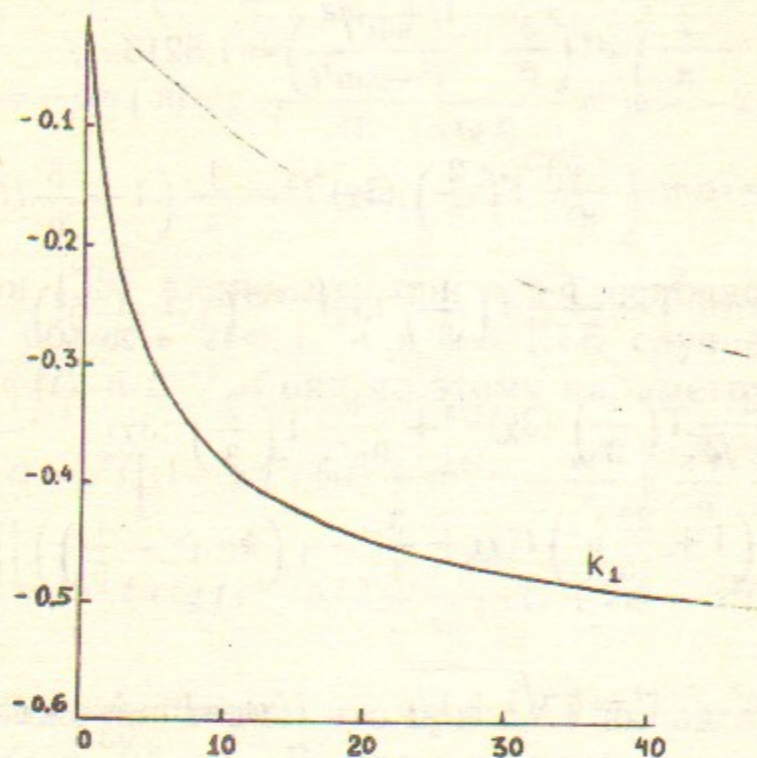


Рис. 3.

где

$$a_1 = 1,8401, \quad a_2 = 0,3180, \quad a_3 = 0,1606, \quad a_4 = 0,2593;$$

$$\Delta m = \alpha m \left[ \eta (b_1 n^{1/3} - \kappa_0 + b_2 n^{-1/3}) + \zeta \sqrt{\eta} \left( -b_3 n^{1/6} + \frac{1}{2\pi \sqrt{2n}} (\ln \eta + c_1 \ln n - c_2) \right) \right], \quad (44)$$

где

$$b_i = \frac{1}{2\sqrt{3}} a_i, \quad \kappa_0 = -\frac{1}{4\pi} k_1(\infty), \quad c_1 = \frac{11}{30}, \quad c_2 = 0,3964.$$

Расчет интенсивности излучения по формуле (23) проводится так же, как и для массового оператора, с тем лишь отличием, что в оставленные члены разложения не дает вклада область  $u \ll 1$ . В результате имеем

$$I = \alpha m^2 \left\{ \frac{32}{243} \Gamma\left(\frac{2}{3}\right) (3\chi)^{2/3} - \frac{2}{3} + \frac{2}{81} \Gamma\left(\frac{1}{3}\right) (3\chi)^{-2/3} \times \right. \\ \left. \times (55 + 4\eta^2/5) + \zeta' \left[ \frac{5}{243} \Gamma\left(\frac{1}{3}\right) (3\chi)^{1/3} - \right. \right.$$

$$\left. - \frac{14}{81} \Gamma\left(\frac{2}{3}\right) (3\chi)^{-1/3} + \frac{1}{4\chi} \left( 1 + \frac{76}{45} \eta^2 \right) \right\}. \quad (45)$$

При  $\eta \gg 1$  получаем

$$I = \alpha m^2 \left[ \eta (d_1 n^{1/3} + d_2 n^{-1/3}) + \zeta \sqrt{\eta} (d_3 n^{1/6} + d_4 n^{-1/2}) \right], \quad (46)$$

где  $d_1 = 0,4673$ ,  $d_2 = 0,0202$ ,  $d_3 = 0,0892$ ,  $d_4 = 0,2986$ .

Из спиновой части поправки к массе электрона можно получить выражение для аномального магнитного момента. В единицах  $\alpha/2\pi$  это выражение имеет вид

$$\mu(\chi, \eta) = \frac{2\pi}{9\sqrt{3}} \left[ \Gamma\left(\frac{1}{3}\right) (3\chi)^{-2/3} + 6\Gamma\left(\frac{2}{3}\right) (3\chi)^{-4/3} \right] - \\ - \frac{1}{\chi^2} \left[ \left( 1 + \frac{22}{15} \eta^2 \right) l(\chi) + \frac{3}{4} + \eta^2 \left( k_2(\eta) - \frac{1}{5} \right) \right]. \quad (47)$$

При  $\eta \gg 1$ , используя асимптотику  $k_2(\eta)$  (42), получаем

$$\mu_n(\eta) = \frac{1}{\eta} \left[ \frac{c_3}{n^{1/3}} - \frac{1}{n} (\ln \eta + c_1 \ln n - c_2) \right], \quad (48)$$

где  $c_1$ ,  $c_2$  определены в формуле (44),  $c_3 = 0,4120$ .

Отметим, что с логарифмической точностью формула (48) справедлива и для низших возбужденных уровней  $n \geq 1$  (см. работу [13] и цитированную там литературу). Из выражения (48) видно, что при  $n \gg 1$  аномальный магнитный момент обращается в нуль ( $\mu_n(\eta_0) = 0$ ) и имеет минимум  $\mu_n(\eta_m)$  при больших значениях параметра  $\eta$ , что оправдывает использование асимптотики (48) в этой области. При этом

$$\eta_0 = \exp(c_3 n^{2/3} - c_1 \ln n + c_2), \quad \eta_m = e\eta_0. \quad (49)$$

Используя формулу (49) для  $n = 1, 2$ , получаем:  $\eta_m(n=1) \simeq 6,10$ ,  $\mu_1(\eta_m) \simeq -0,164$ ,  $\eta_m(n=2) \simeq 6,03$ ,  $\mu_2(\eta_m) = -0,083$ . Эти значения и поведение функции (48) при  $\eta \geq \eta_m$  достаточно хорошо согласуются с результатами численного расчета аномального магнитного момента, проведенного в работе [13].

Полученные выше выражения для вероятности и интенсивности излучения позволяют оценить его характерные частоты. В слабом поле  $\eta \ll 1$  в случае нерелятивистского поперечного движения ( $\rho \ll 1$ ) получаем из формул (10), (15) для средней частоты излучения ( $\rho_z = 0$ )



$$\bar{\omega} = \frac{I}{W} \simeq \eta m = \omega_0, \quad (50)$$

что соответствует дипольному излучению в осцилляторе с  $\Delta l = 1$ . Если продольный импульс велик ( $\rho^2 \gg m^2$ ), то для излучаемых частот необходимо учитывать доплеровское смещение. В случае, когда параметр  $\rho$  не мал, но мала величина параметра  $\chi$ , средняя энергия фотона определяется выражением

$$\frac{\bar{\omega}}{\varepsilon} \simeq \frac{\rho \eta}{f_0(\rho)}, \quad \frac{\bar{\omega}}{\varepsilon} (\rho \gg 1) \simeq \frac{4\eta}{5} \sqrt{\frac{\rho}{3}} \sim \frac{\chi}{2}. \quad (51)$$

При  $\chi \gg 1$  энергия излучаемых квантов становится сравнимой с энергией электрона и при  $\chi \gg 1$   $\bar{\omega} \simeq \varepsilon a_1/d_1 \sim \varepsilon/4$ . В случае сверхсильных полей  $\eta \gg 1$  при излучении с низших возбужденных уровней средняя энергия фотонов становится еще больше. Поскольку коэффициенты ряда по степеням  $n^{-1/3}$  для вероятности и интенсивности излучения в этом случае достаточно быстро убывают, для оценки  $\bar{\omega}$  можно использовать формулы (43), (46) вплоть до  $n \sim 1$ . Для неполяризованных частиц получаем для  $\bar{\omega}$  при  $\eta \gg 1$  следующее выражение:

$$\frac{\bar{\omega}}{\varepsilon} \simeq \frac{1}{4} \left( 1 - \frac{5}{6} n^{-1/3} + \frac{1}{6} n^{-2/3} \right)^{-1}. \quad (52)$$

### Приложение

Проиллюстрируем детали расчета в пределе  $\eta \ll 1$  на примере нахождения разложения массового оператора до членов  $\sim \eta^2$  включительно. Следующие члены разложения в (6), (8) и соответствующее выражение для интенсивности (24) вычисляются аналогично. В соответствии со сказанным в тексте разобьем область интегрирования по  $x$  в (1) на две:  $(0, x_0)$  и  $(x_0, \infty)$ , где  $\eta \ll x_0 \ll 1$ . В области  $(0, x_0)$  можно использовать выражения (3), (4) и дополнительно разложить по  $x$  функции  $c(x) = 1 - \cos x$ ,  $s(x) = 1 - \sin x/x$ . Тогда с принятой точностью, после замены переменной  $x \rightarrow 2\eta x$  вклад области  $(0, x_0)$  принимает вид

$$M_1 = \frac{\alpha m}{2\pi} \int_0^1 du \int_0^{x_0/2\eta} dx e^{iux} \left\{ \frac{\eta^2 x}{3} \langle \rho(1-u) [2(3-2u) - iu(1-u)^2 x] - u(3u^2 - 5u + 4) \rangle - i\eta \zeta \gamma_{\perp} u(1-u) \right\}. \quad (П.1)$$

Интегралы по  $x$  в (П.1) выражаются через функцию  $\varphi(u) = (1 - e^{-iux_0/2\eta})/u$  и ее производные по  $u$ . В свою очередь, члены, содержащие производные функции  $\varphi(u)$ , проинтегрируем по частям. Во внеинтегральных членах можно положить  $\varphi(0) = ix_0/2\eta$ ,  $\varphi(1) = 1$ ,  $\varphi'(1) = -1$ . Единственный нетривиальный интеграл по  $u$  имеет вид

$$\int_0^1 du \varphi(u) \simeq \ln\left(\frac{x_0}{2\eta}\right) + C + i\frac{\pi}{2}, \quad (П.2)$$

где учтено, что  $x_0/2\eta \gg 1$ ,  $C$  — постоянная Эйлера. Выполнив интегрирование по  $u$ , находим для вклада области  $(0, x_0)$

$$M_1 = \frac{\alpha m}{2\pi} \left\{ \eta^2 \left[ -\frac{5}{2} - \frac{8}{3}\rho + \frac{4}{3}(1+2\rho) \left( \ln\left(\frac{x_0}{2\eta}\right) + C + i\frac{\pi}{2} \right) - \frac{5}{6} i\rho \frac{x_0}{\eta} \right] - \eta \zeta \gamma_{\perp} \left( \frac{1}{2} + \frac{2i\eta}{x_0} \right) \right\}. \quad (П.3)$$

В области  $(x_0, \infty)$ , воспользовавшись формулами (3), (4), имеем после замены  $u = 2\eta z/x$ :

$$M_2 = \frac{\alpha m \eta}{\pi} \left\{ \int_{x_0}^{\infty} \frac{dx}{x^2} \int_0^{x/2\eta} dz \left[ e^{-iz\mu} \left\langle 1 + \rho c(x) + \frac{2\eta z}{x} \times \right. \right. \right. \\ \left. \left. \times \left[ 2s(x) (1 + \rho c(x)) \left( 1 + iz\rho \frac{c(x)}{x^2} \right) + 1 + (\rho - 1) s(x) - \right. \right. \right. \\ \left. \left. \left. - (1 + 2\rho) c(x) + i\zeta \gamma_{\perp} x \left( s(x) - 1 + \frac{c(x)}{x^2} \right) \right] \right] \right\rangle - e^{-iz} \left( 1 + \frac{2\eta z}{x} \right) \right\}. \quad (П.4)$$

Поскольку в (П.4)  $\mu = 1 + \rho(1 - 2c(x)/x^2) > 1$  и верхний предел интеграла по  $z$ :  $x/2\eta \gg x_0/2\eta \gg 1$ , это интегрирование с точностью до экспоненциально малых членов можно распространить до  $\infty$ , после чего оно становится тривиальным. Так, линейный по  $\eta$  член  $M_2$  имеет вид

$$M_{21} = -\frac{i\alpha m \eta}{\pi} \int_{x_0}^{\infty} \frac{dx}{x^2} \left[ \frac{1 + \rho c(x)}{\mu} - 1 \right] \simeq$$



$$\approx -\frac{i\alpha m\eta}{\pi} \left\{ \int_0^{\infty} \frac{dx}{x^2} \left[ \frac{1+\rho c(x)}{\mu} - 1 \right] - \frac{5}{12} \rho x_0 \right\}. \quad (\text{П.5})$$

В квадратичном по  $\eta$  члене интеграл по  $x$  расходится при  $x_0 \rightarrow 0$ . Вычитая и прибавляя члены, компенсирующие эту расходимость, находим в  $\eta^2$ -порядке

$$M_{22} = -\frac{2\alpha m\eta^2}{\pi} \left\{ \int_0^{\infty} \frac{dx}{x^3} \left\langle \left[ 2s(x)(1+\rho c(x)) \left( 1 + \frac{2\rho c(x)}{\mu x^2} \right) + 1 + \right. \right. \right. \\ \left. \left. \left. + s(x)(\rho-1) - (1+2\rho)c(x) + i\zeta\gamma_{\perp} x \left( s(x) - 1 + \frac{c(x)}{x^2} \right) \right] \mu^{-2} - \right. \right. \\ \left. \left. - 1 + i\frac{x}{2}\zeta\gamma_{\perp} + 2(1+2\rho)s(x) \right\rangle - \right. \\ \left. - \int_{x_0}^{\infty} \frac{dx}{x^3} \left[ 2(1+2\rho)s(x) + i\frac{x}{2}\zeta\gamma_{\perp} \right] \right\}. \quad (\text{П.6})$$

Последний интеграл в (П.6) с нужной точностью равен

$$\int_{x_0}^{\infty} \frac{dx}{x^3} \left[ 2(1+2\rho)s(x) + i\frac{x}{2}\zeta\gamma_{\perp} \right] \approx \frac{(1+2\rho)}{3} \left[ \frac{11}{6} + \ln \frac{1}{x_0} - C \right] + i\zeta \frac{\gamma_{\perp}}{2x_0}. \quad (\text{П.7})$$

Сумма выражений (П.3), (П.5) и (П.6) (с учетом (П.7)), в которой величина  $x_0$ , как и должно быть, сокращается, дает с точностью до членов  $\sim \eta^2$  массовый оператор  $M$ , мнимая часть которого связана с вероятностью излучения, согласно (5).

Расчет асимптотики  $M$  при  $n \gg 1$  также проводился с помощью «сшивки». В качестве примера найдем часть  $M$ , не зависящую от спина. Обозначим эту часть через  $T$ . Члены в  $M$ , пропорциональные  $\zeta$ , вычисляются точно также. Исходя из проведенного (см. обсуждение после (38), (39)) анализа, разобьем область интегрирования по  $u$  на три:  $(0, u_1)$ ;  $(u_1, u_2)$ ;  $(u_2, 1)$ . Параметры  $u_1, u_2$  подчиним следующим условиям:  $n^{-1} \ll u_1 \ll 1$ ,  $n^{-1/2} \ll 1 - u_2 \ll 1$ . В первой области можно провести разложение по  $u$ , после чего для вклада этой области получаем

$$T_1 = \frac{\alpha m \rho}{2\pi} \int_0^{\infty} \frac{dx}{x} c(x) \int_0^{u_1} du \exp[-inu x (1 - 2c(x)/x^2)] =$$

$$= \frac{i\alpha m \eta}{\pi} \int_0^{\infty} \frac{dx}{x} c(x) \frac{\exp[-inu x (1 - \frac{2c(x)}{x^2})] - 1}{1 - 2c(x)/x^2} \approx$$

$$\approx \frac{\alpha m \eta}{\pi} \left\{ i \int_0^{\infty} \frac{dx}{x^2} \left[ 6 - \frac{c(x)}{1 - 2c(x)/x^2} \right] + (2nu_1)^{1/3} \Gamma\left(\frac{2}{3}\right) (-3i)^{2/3} - \right. \\ \left. - \frac{7i}{45} \Gamma\left(\frac{1}{3}\right) \left( -\frac{3i}{2nu_1} \right)^{1/3} \right\}. \quad (\text{П.8})$$

Интеграл по  $x$  в (П.8) также вычислялся «сшивкой», с учетом условия  $nu_1 \gg 1$ . В области  $(u_1, u_2)$  вклад дают лишь малые значения  $x \sim n^{-1/3}$ . Выполняя соответствующее разложение, имеем

$$T_2 = \frac{\alpha m}{2\pi} \int_{u_1}^{u_2} du \int_0^{x_1} \frac{dx}{x} \exp\left[-\frac{iux}{2\eta}\right] \left\{ \frac{\rho x^2}{2} (1-u) \left\langle \left( 1 - \frac{2}{3}u \right) \times \right. \right. \\ \left. \left. \times \left[ 1 + ux^2 \left( \frac{1}{3} - \frac{u}{4} \right) + \frac{inu(1-u)^2 x^5}{16 \cdot 45} (9u^2 - 12u + 2) \right] - \right. \right. \\ \left. \left. - \frac{x^2}{12} \left( 1 - \frac{4}{5}u \right) \right\rangle \exp\left[-\frac{inu(1-u)^2 x^3}{12}\right] + \right. \\ \left. + (1+u) \left( \exp\left[-\frac{inu(1-u)^2 x^3}{12}\right] - 1 \right) \right\}. \quad (\text{П.9})$$

Условия, наложенные на  $u_1, u_2$ , позволяют выбрать такое  $x_1 \ll 1$ , что  $nu(1-u)^2 x_1^3 \gg 1$ , тогда интегрирование по  $x$  в (П.9) можно распространить до  $\infty$ . Выполняя это интегрирование (функция  $\exp(-iux/2\eta)$  не разложена в (П.9) только для компактности записи), находим

$$T_2 = \frac{\alpha m}{\pi} \int_{u_1}^{u_2} du \left\{ \frac{(1-2u/3)}{1-u} \left[ \frac{1}{3} \Gamma\left(\frac{2}{3}\right) \left( -\frac{3i}{z} \right)^{2/3} - 1 \right] + \right. \\ \left. + \frac{u(2/3-u)}{18(1-u)} \Gamma\left(\frac{1}{3}\right) (-3i)^{4/3} z^{2/3} - \frac{\Gamma(1/3)(-3i/z)^{4/3}}{15 \cdot 27 \cdot \rho(1-u)^3} \left[ 7 - \frac{56}{3}u + 17u^2 - 6u^3 \right] + \right.$$



$$+ \frac{(1+u)}{3} \left[ \frac{1}{2} \ln 3 + C - \ln \left( \frac{-i}{z} \right) \right], \quad (\text{П.10})$$

здесь  $z = u/(1-u)\eta \sqrt{\rho}$ . Для дальнейшего вычисления  $T_2$  члены в (П.10), имеющие особенность при  $u \rightarrow 0$  или  $u \rightarrow 1$ , следует преобразовать интегрированием по частям, выделив тем самым явную зависимость от параметров сшивки  $u_1$  и  $u_2$ , после чего интегралы сводятся к табличным и для величины  $T_2$  получаем

$$\begin{aligned} T_2 = & \frac{\alpha m}{\pi} \left\{ \Gamma \left( \frac{2}{3} \right) (-3i\eta \sqrt{\rho})^{2/3} \left[ \frac{14\pi}{27\sqrt{3}} - \frac{1}{6} \delta^{2/3} - u_1^{1/3} \right] + \right. \\ & + \frac{1}{3} (\ln \delta - 2) + \frac{i\Gamma(1/3)(-3i)^{1/3}}{(\eta \sqrt{\rho})^{2/3}} \left[ \frac{\delta^{-2/3}}{12} - \frac{10\pi}{27\sqrt{3}} \right] - \\ & - \frac{i\Gamma(1/3)}{9 \cdot 15} \left( \frac{-3i\eta^4}{\rho} \right)^{1/3} \left[ \frac{14\pi}{\sqrt{3}} + \delta^{-2/3} - 21u_1^{-1/3} \right] + \\ & \left. + \frac{1}{2} \left[ \frac{1}{2} \ln 3 + C + \frac{1}{3} - \ln(-i\eta \sqrt{\rho}) \right] \right\}, \quad (\text{П.11}) \end{aligned}$$

где  $\delta = 1 - u_2$ . В третьей области проведем разложение подынтегрального выражения в массовом операторе по малой величине  $y = 1 - u$ :

$$\begin{aligned} T_3 = & \frac{\alpha m \rho}{2\pi} \int_0^\infty \frac{dx}{x} \exp \left[ \frac{-ix}{2\eta} \right] \left( \frac{x/2}{\sin(x/2)} \right)^2 s(x) \int_0^\delta dy y \times \\ & \times \exp \left\{ -inx y^2 \left[ 1 - \frac{\sin x}{x} \left( \frac{x/2}{\sin(x/2)} \right)^2 \right] \right\}. \quad (\text{П.12}) \end{aligned}$$

Выполнив в (П.12) элементарное интегрирование по  $y$  и заменив  $x \rightarrow 2x$ , имеем

$$T_3 = \frac{i\alpha m \eta}{4\pi} \int_0^\infty \frac{dx}{\sin^2 x} \frac{s(2x) \exp \left\{ -i \frac{x}{\eta} \right\}}{1 - \frac{\sin 2x}{2x} \left( \frac{x}{\sin x} \right)^2} F(x), \quad (\text{П.13})$$

$$F(x) = \exp \left\{ -irx \left[ 1 - \frac{\sin 2x}{2x} \left( \frac{x}{\sin x} \right)^2 \right] \right\} - 1, \\ r = 2n\delta^2 \gg 1.$$

Дополнительный анализ показывает, что полюсы в (П.13), лежа-

щие на действительной оси, обходятся снизу. Выберем значение  $x_2$ , удовлетворяющее условию  $r^{-1/3} \ll x_2 \ll 1$ . В области  $(0, x_2)$  можно провести разложение по  $x \ll 1$ , а в области  $(x_2, \infty)$  заменить  $F(x) \rightarrow -1$ . Теперь добавим и вычтем интеграл, в котором  $F(x)$  заменена на  $-1$  по контуру  $x = x_2 e^{i\varphi}$ ,  $-\pi/2 \leq \varphi \leq 0$  в комплексной плоскости  $x$ . Получившийся интеграл

$$\left( \int_{-ix_2}^{x_2} + \int_{x_2}^{\infty} \right) dx$$

с  $F = -1$  можно развернуть вдоль отрицательной мнимой полуоси и перейти к переменной  $-ix$ , а интегралы в области  $|x| \ll 1$  вычислить непосредственно. В результате находим для  $T_3$ :

$$\begin{aligned} T_3 = & \frac{\alpha m \eta}{2\pi} \left\{ \int_{x_2}^{\infty} \frac{dx e^{-x/\eta}}{2 \operatorname{sh}^2 x} \frac{1 - \operatorname{sh} 2x/2x}{1 - \frac{\operatorname{sh} 2x}{2x} \left( \frac{x}{\operatorname{sh} x} \right)^2} + \right. \\ & + \frac{1}{\eta} \left[ \ln \left( \frac{i}{x_2} \right) + \frac{1}{3} \ln \left( \frac{-3i}{r} \right) - \frac{C}{3} \right] - \frac{1}{x_2} + \Gamma \left( \frac{2}{3} \right) (-i)^{2/3} \left( \frac{r}{3} \right)^{1/3} + \\ & \left. + \frac{i\Gamma(1/3)}{3} \left( \frac{-3i}{r} \right)^{1/3} \left( \frac{2}{45} - \frac{1}{2\eta^2} \right) \right\}. \quad (\text{П.14}) \end{aligned}$$

Организуя, как обычно, сходящееся при  $x \rightarrow 0$  выражение в оставшемся интеграле и вычисляя в явном виде интегралы от вычитательных членов, после простых преобразований получаем из (П.14)

$$\begin{aligned} T_3 = & \frac{\alpha m \eta}{2\pi} \left\{ \frac{1}{2} \int_0^\infty \frac{dx}{x} e^{-x/\eta} \left[ \frac{1}{\operatorname{cth} x - 1/x} - \operatorname{cth} x - \frac{2}{x} \right] + \right. \\ & + \left( \frac{r}{3} \right)^{1/3} (-i)^{2/3} \Gamma \left( \frac{2}{3} \right) + \frac{i\Gamma(1/3)}{3} \left( \frac{-3i}{r} \right)^{1/3} \left( \frac{2}{45} - \frac{1}{2\eta^2} \right) + \\ & \left. + \frac{1}{\eta} \left[ \ln \left( \frac{1}{\eta} \right) - 1 + \frac{1}{3} \ln \left( \frac{3}{r} \right) + \frac{2}{3} \left( C + i \frac{\pi}{2} \right) \right] \right\}. \quad (\text{П.15}) \end{aligned}$$

Нетрудно убедиться, что в сумме  $T = T_1 + T_2 + T_3$  выражений (П.8), (П.11) и (П.15) параметры  $u_1$  и  $u_2$  сокращаются и воспроизводится результат, приведенный в тексте.



## ЛИТЕРАТУРА

1. *Michel F.O.* Rev. Mod. Phys., 1982, v.54, p.1.
2. *Fenimore E.E. et al.* Astrophys. J. (Let), 1988, v.335, p.471.
3. *Байер В.Н., Катков В.М., Фадин В.С.* Излучение релятивистских электронов. — М.: Атомиздат, 1973.
4. *Tsai W.Y., Yildiz A.* Phys. Rev., 1973, v.D8, p.3446.
5. *Байер В.Н., Катков В.М., Страховенко В.М.* ЖЭТФ, 1974, т.67, с.453.
6. *Baier V.N., Katkov V.M., Strakhovenko V.M.* Phys. Lett., 1986, v.A117, p.251.
7. *Багров В.Г., Белов В.В., Маслов В.П.* ДАН СССР, 1989, т.308, № 1, с.88.
8. *Байер В.Н., Катков В.М., Страховенко В.М.* ЖЭТФ, 1972, т.63, с.2121.
9. *Байер В.Н., Катков В.М.* ЖЭТФ, 1967, т.52, с.1422.
10. *Берестецкий В.Б., Лифшиц Е.М., Питаевский Л.П.* Квантовая электродинамика. — М.: Наука, 1989.
11. *Байер В.Н., Катков В.М., Страховенко В.М.* Электромагнитные процессы при высокой энергии в ориентированных монокристаллах. — Новосибирск: Наука, 1989.
12. *Baier V.N., Katkov V.M., Strakhovenko V.M.* Phys. Lett., 1986, v.A114, p.511.
13. *Байер В.Н., Катков В.М., Страховенко В.М.* ЯФ, 1976, т.24, с.379.
14. *Detemur M.* Acad. R. Belg. Cl. Sci. Mem., 1953, v.28, N5, p.1643.
15. *Тернов И.М., Багров В.Г., Бородовицин В.А., Дорофеев О.Ф.* ЖЭТФ, 1968, т.55, с.2273.
16. *Jancovici B.* Phys. Rev., 1969, v.187, p.2275.
17. *Sokolov A.A., Zhukovskii V.Ch., Nikitina N.S.* Phys. Lett., 1973, v.A43, p.85.
18. *White D.* Phys. Rev., 1974, v.D10, p.1726; 1976, v.D13, p.1791.
19. *Артимович Г.К., Ритус В.И.* ЖЭТФ, 1986, т.90, с.816.

*В.Н. Байер, В.М. Катков, В.М. Страховенко*

**Структура  
массового оператора электрона  
в однородном магнитном поле,  
близком к критическому**

Ответственный за выпуск С.Г.Попов

Работа поступила 15 марта 1990 г.  
Подписано в печать 26.04 1990 г. МН 08578  
Формат бумаги 60×90 1/16 Объем 2,3 печ.л., 1,9 уч.-изд.л.  
Тираж 200 экз. Бесплатно. Заказ № 55

*Набрано в автоматизированной системе на базе фото-  
наборного автомата ФА1000 и ЭВМ «Электроника» и  
отпечатано на ротапринтере Института ядерной физики  
СО АН СССР,  
Новосибирск, 630090, пр. академика Лаврентьева, 11.*